



PERÚ

Ministerio
de la Producción



IMARPE
INSTITUTO DEL MAR DEL PERÚ

BOLETÍN SEMANAL OCEANOGRÁFICO Y BIOLÓGICO-PESQUERO

Año 6, N°21

Semana 21: 21 - 27/05/2021

DIAGNÓSTICO

Esta semana el océano Pacífico ecuatorial central presentó condiciones neutras de la temperatura superficial del mar (TSM). En la región oriental, el enfriamiento anómalo continuó disminuyendo en intensidad y cobertura, mientras las condiciones cálidas anómalas presentes al norte del ecuador geográfico en las últimas semanas persistieron, con una anomalía máxima de $+1,5\text{ °C}$ ($87,9^{\circ}\text{W}$) (Figura 1). Frente al Perú, en la franja de 100 km adyacentes a la costa, la temperatura superficial del mar (TSM) varió entre $25,4\text{ °C}$ (Tumbes) y $14,4\text{ °C}$ (sur de San Juan de Marcona). La banda de aguas menores a 20 °C se mantuvo de Sullana al sur, con una amplitud uniforme entre Callao e Ilo de unas 200 mn; hacia el norte del Callao destacó el acercamiento a unas 50 mn de la costa de la isoterma de 20 °C frente a Mórrope y Huacho. En la zona oceánica frente a la costa sur y central se replegaron hacia el oeste las aguas de 21 °C y de $23\text{-}25\text{ °C}$, respectivamente (Figura 2 a). Las anomalías térmicas negativas disminuyeron en cobertura, presentando sus valores máximos frente a Atico ($-2,8\text{ °C}$), Chicama ($-2,0\text{ °C}$), Huanchaco ($-1,9\text{ °C}$) y Zarumilla ($-1,5\text{ °C}$). En términos de salinidad, la información del modelo MERCATOR mostró a las Aguas Tropicales Superficiales (ATS) al norte de Los Órganos y a las Aguas Ecuatoriales Superficiales (AES) entre este último punto hasta Sullana. Entre Sullana y Chicama predominaron aguas de mezcla entre las AES, Aguas Subtropicales Superficiales (ASS) y aguas costeras frías (ACF), aumentando la preponderancia de estas dos últimas en la zona costera al sur de Pimentel. Al sur de Chimbote y hasta Atico en la franja costera, se mantuvo un predominio de aguas de mezcla (ASS+ACF), mientras que entre Atico y Tacna las ACF presentaron una mayor proyección fuera de la costa (Figura 2 b). Respecto a la semana anterior, se detectó un enfriamiento de hasta 1 °C a más de 100 mn frente a la costa central, así como un enfriamiento costero en la zona sur, especialmente entre Atico y Quilca donde alcanzó $3,3\text{ °C}$. En la franja adyacente a la costa de Paita al Callao no hubo cambios significativos de TSM (Figura 3 b).

En la franja de ~ 111 km adyacente a la costa entre el ecuador geográfico y 22°S , la intensidad del viento, de dirección predominante del sureste, fluctuó entre velocidades moderadas (entre 4,1 a 6,8 m/s) a ligeramente fuertes ($> 6,8$ m/s, desde Tumbes hasta San Juan de Marcona), registrando primero ligeras anomalías positivas y luego, ligeras anomalías negativas en los últimos días, ambas mayormente en el rango neutral (Figura 4 a). Por su parte, las anomalías negativas de TSM mantuvieron su tendencia al debilitamiento; el mayor enfriamiento del mar ocurrió frente a Chala ($-1,8\text{ °C}$) (Figura 4 b). La evolución de las anomalías del nivel del mar (ANM) diarias con un filtro pasa banda de 10-120 días se muestran para dos sectores: la zona ecuatorial entre 2°N y 2°S (Figura 5 a) y para la franja de 111 km adyacente al litoral peruano (Figura 5 b). En el primer caso, las ANM positivas del oeste mantuvieron su desplazamiento hacia la costa sudamericana localizándose hasta los 85°W , con valores entre $+2$ y $+4$ cm (Figura 5 a). En la franja costera peruana, al norte de Huacho las ANM tendieron a normalizarse desde valores negativos, mientras que de Huacho hacia Atico, las ANM mantuvieron valores negativos (Figura 5 b).

El flotador ARGO ($6,2^{\circ}\text{S}$ y $82,5^{\circ}\text{W}$) a 94 mn frente a Punta Falsa, el día 22 de mayo, mostró una TSM de $21,1\text{ °C}$ y una ATSM de $-1,6\text{ °C}$. En la columna de agua se observó la profundización de las isotermas con respecto a la semana anterior lo que originó anomalías de hasta $+2\text{ °C}$ entre los 30 y 70 m y leve calentamiento anómalo hasta los 300 m. En la capa más somera ocurrió enfriamiento anómalo leve (-1 °C) en los 30 m superiores (Figura 6).

PERSPECTIVAS A CORTO PLAZO

Según el pronóstico del Modelo Atmosférico del Sistema de Pronóstico Global (GFS, por sus siglas en inglés) de NOAA/NCEP (https://pae-paha.pacioos.hawaii.edu/erddap/griddap/ncep_global.html), entre el 28 de mayo y 04 de junio, predominarían vientos débiles a moderados ($< 6,8$ m/s), con anomalías negativas de la VV ($< -1,0$ m/s), aunque con intensificaciones focalizadas entre Talara a San José y Pisco a San Juan de Marcona, durante los días entre el 31 de mayo y 02 de junio.

De acuerdo con el pronóstico de Mercator Océan para el periodo del 27 de mayo al 05 de junio 2021, las anomalías negativas de la TSM disminuirán en la zona norte de la franja costera peruana fluctuando posteriormente entre valores negativos y positivos, mientras que en la zona central persistirán las anomalías negativas de la TSM. Asimismo, en la franja costera sur se espera que la TSM fluctúe alrededor de su normal. (http://www.imarpe.gob.pe/imarpe/index.php?id_seccion=I0178040300000000000000)

La última simulación del modelo de ondas Kelvin ecuatoriales implementado en el IMARPE, forzado con anomalías del esfuerzo del viento ecuatorial superficial obtenidos del NCEP al 25.05.2021, indica el arribo a las costas de Sudamérica de una onda Kelvin cálida (modo 1), mencionada desde el boletín BS-OBP N°15-2021, entre fines de mayo e inicios de junio. Por otro lado, una **onda Kelvin fría (modo 1)** generada en el Pacífico ecuatorial central en mayo se propaga hacia el este y llegará frente a las costas de Sudamérica en **junio**. Además, es necesario señalar que recientemente anomalías de vientos del oeste observadas en el Pacífico ecuatorial occidental habrían generado **dos ondas Kelvin cálidas** (modo 1 y modo 2), las cuales llegarían frente a las costas de Sudamérica en **julio (modo 1)** y la otra entre **agosto y setiembre (modo 2)**. Cabe señalar que la amplitud de la llegada de las ondas Kelvin frías y cálidas estará en función de la contribución del comportamiento del viento ecuatorial en la región oriental del Pacífico ecuatorial. (http://www.imarpe.gob.pe/imarpe/index.php?id_seccion=I017804010000000000000000)

Servicio de Información Oceanográfica
del Fenómeno El Niño (SIO-FEN)
Instituto del Mar del Perú

I. CONDICIONES DE MACROESCALA

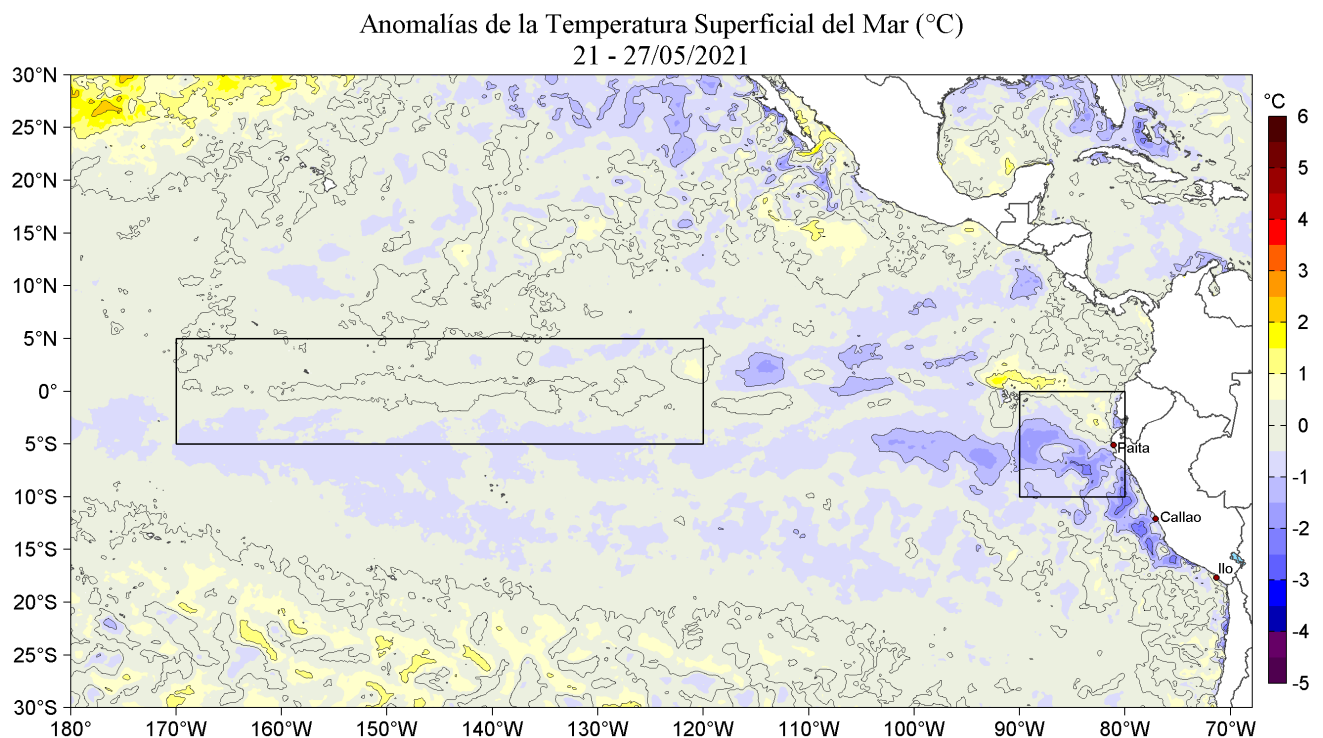


Figura 1. Anomalías promedio de la Temperatura superficial del mar (°C) en el océano Pacífico tropical para la semana del 21 al 27 de mayo de 2021. Las regiones Niño 3.4 y Niño 1+2 en los sectores central y oriental del océano, respectivamente están delimitadas con una línea de color gris. Datos: OSTIA-UKMO-L4-GLOB-v2.0 (UK Met Office, 2012; Donlon et al, 2012) disponible en <https://podaac.jpl.nasa.gov/dataset/OSTIA-UKMO-L4-GLOB-v2.0>. Las anomalías se calcularon con respecto de la climatología para el periodo 2007-2016.

II. CONDICIONES REGIONALES

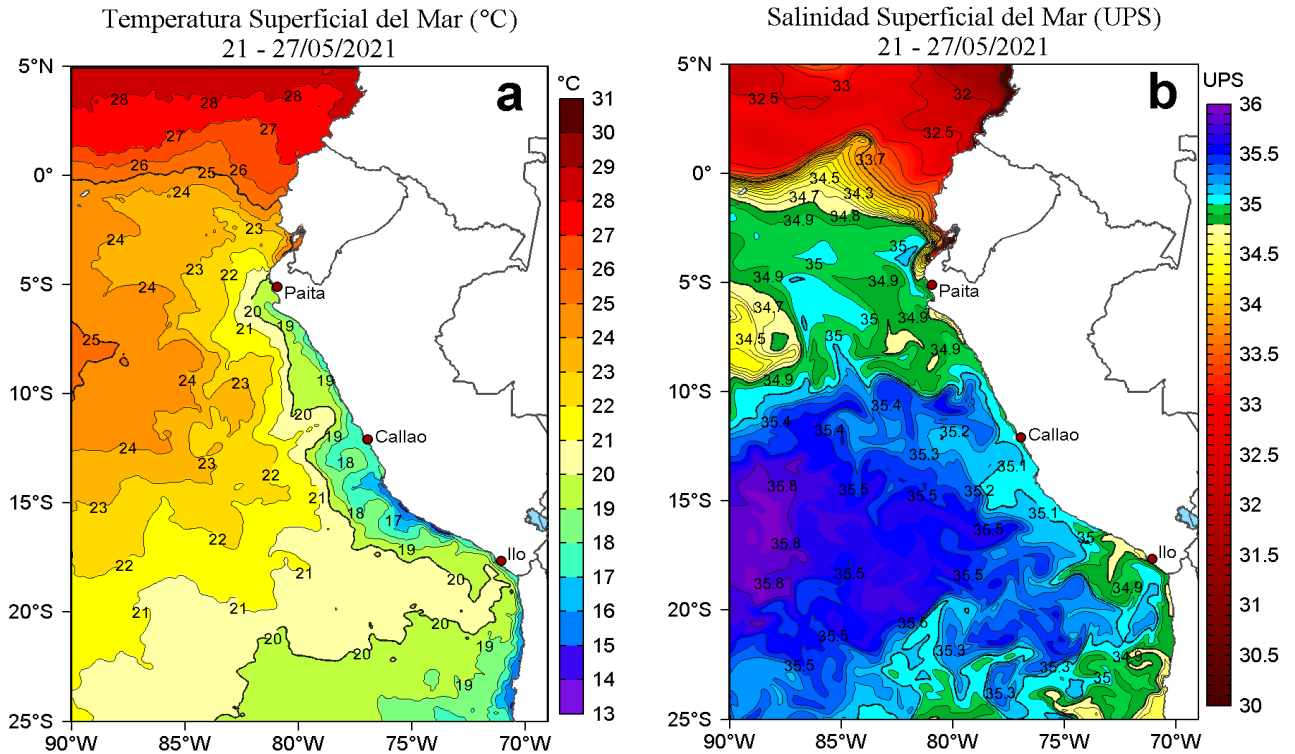


Figura 2. Distribución espacial promedio de: a) Temperatura (TSM, °C) y b) Salinidad superficial del mar (SSM) para la semana del 21 al 27 de mayo de 2021, en el océano Pacífico oriental. Datos: OSTIA-UKMO-L4-GLOB-v2.0 (UK Met Office, 2012; Donlon et al, 2012) disponible en <https://podaac.jpl.nasa.gov/dataset/OSTIA-UKMO-L4-GLOB-v2.0> para (a) y del GLOBAL_ANALYSIS_FORECAST_PHY_001_024 (Lellouche, J. M. et al, 2013) disponible en http://marine.copernicus.eu/services-portfolio/access-to-products/?option=com_csw&view=details&product_id=GLOBAL_ANALYSIS_FORECAST_PHY_001_024 para (b). Las escalas de colores se presentan a la derecha de cada gráfico.

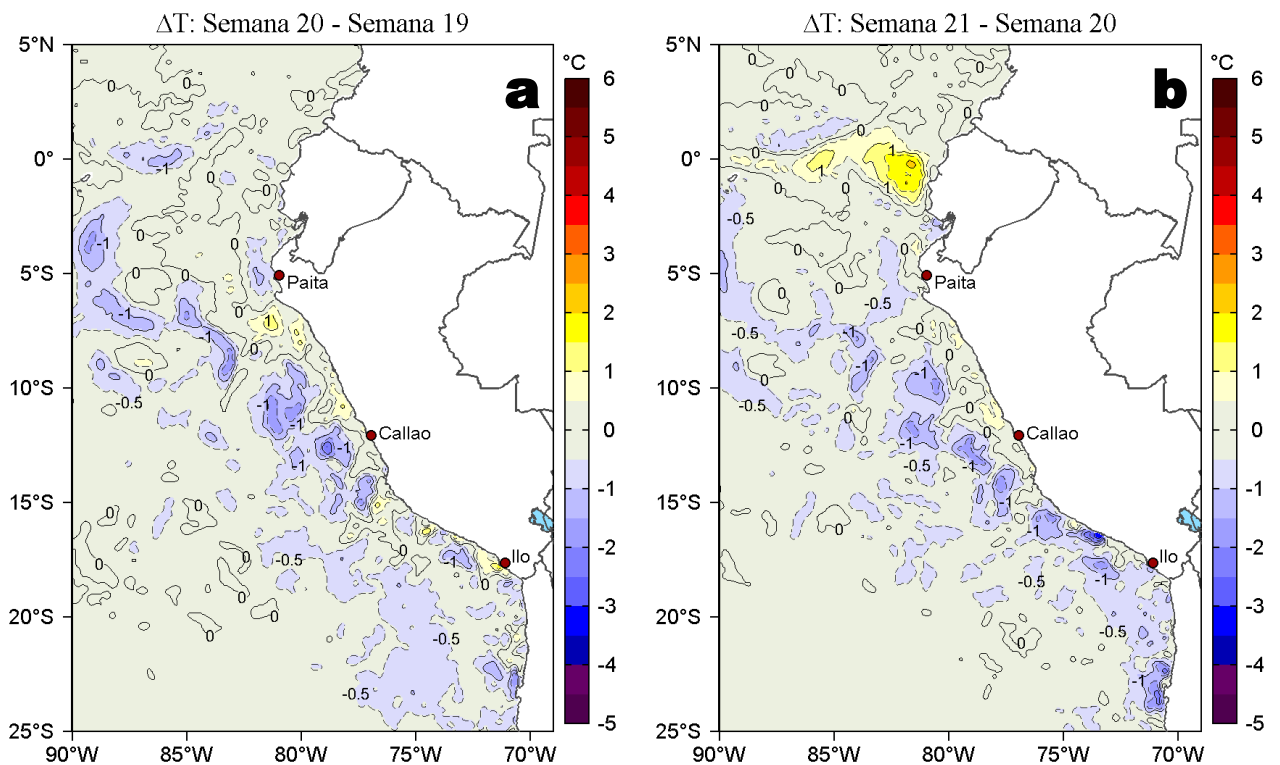


Figura 3. Variación semanal de la temperatura superficial del mar (°C) en el océano Pacífico tropical oriental entre: a) vigésima (14-20 de mayo) y décima novena (07-13 de mayo) semana del 2021 y b) vigésima primera (21-27 de mayo) y vigésima (14-20 de mayo) semana del 2021. Los mapas, que indican el grado de calentamiento o enfriamiento de una semana a otra, provienen de OSTIA-UKMO-L4-GLOB-v2.0 (UK Met Office, 2012; Donlon et al, 2012). La barra de colores a la derecha muestra la diferencia de la temperatura entre la presente y la semana previa.

III. CONDICIONES LOCALES

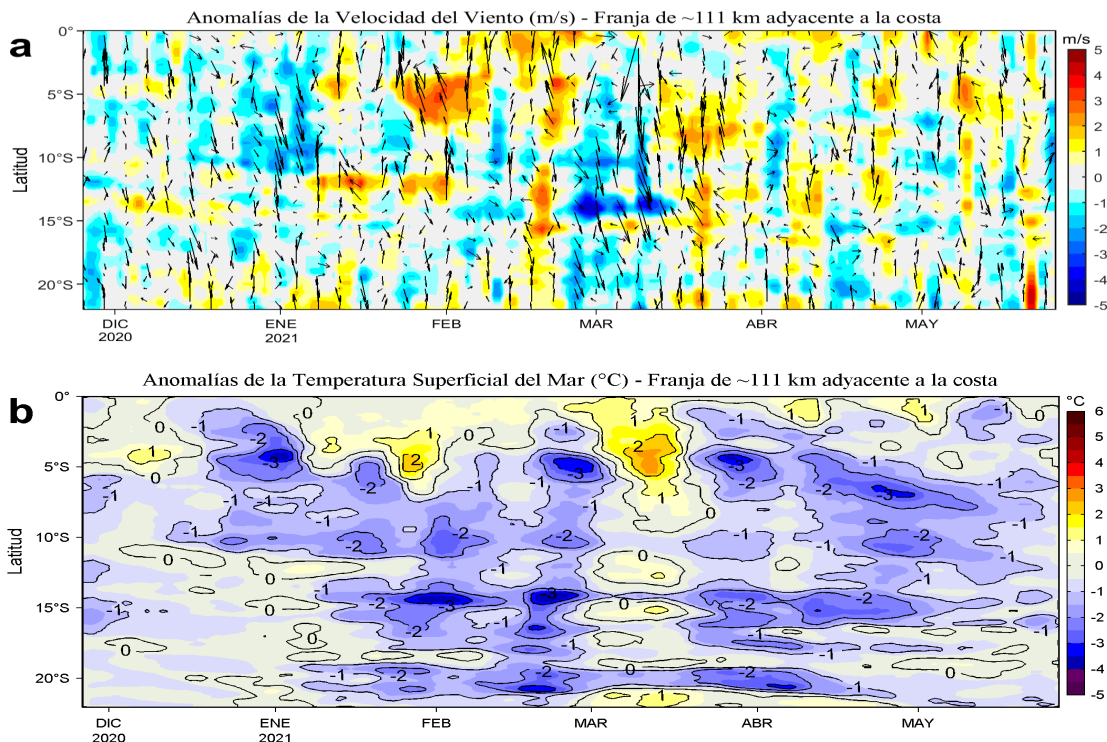


Figura 4. Evolución de las anomalías diarias de: a) Velocidad del viento (m/s) y b) Temperatura superficial del mar (°C) para el último semestre, actualizado al 26 y 27 de mayo de 2021, respectivamente. Datos: de IFREMER/CERSAT para (a) y de OSTIA-UKMO-L4-GLOB-v2.0 para (b). Las anomalías fueron calculadas para una franja de 111 km adyacente a la costa entre el ecuador geográfico y 22°S según los promedios climatológicos diarios de 2000-2014 para (a) y de 2007-2016 para (b). La barra de colores a la derecha muestra la escala de las anomalías en cada caso.

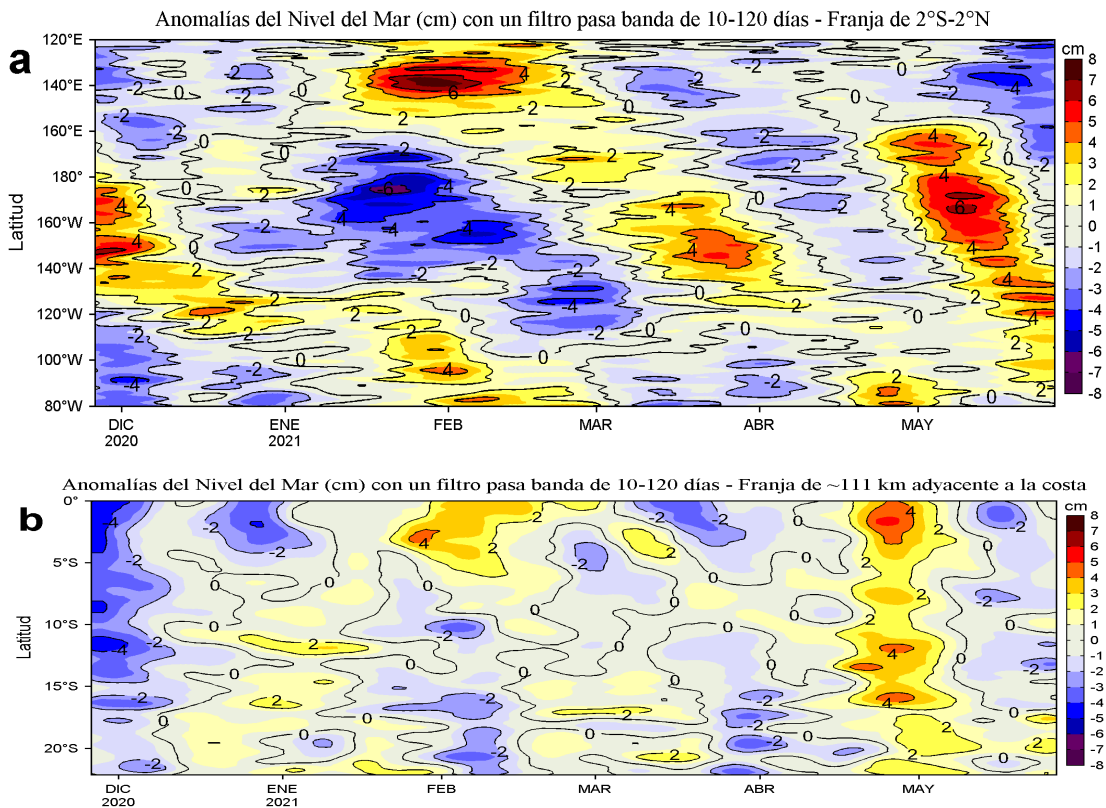


Figura 5. Evolución de las anomalías diarias del nivel del mar (cm) para a) la franja de 2°S-2°N en el Pacífico Ecuatorial y b) la franja de 111 km adyacente a la costa entre el ecuador geográfico y 22°S en el último semestre, actualizado al 27 de mayo de 2021. Los datos de anomalías de nivel del mar consideran un filtro pasa banda de 10-120 días. Datos: del Servicio de Monitoreo del Ambiente Marino Copernicus (CMEMS en inglés). Climatología: 1993-2010. La barra de colores a la derecha muestra la escala de las anomalías en cada caso.

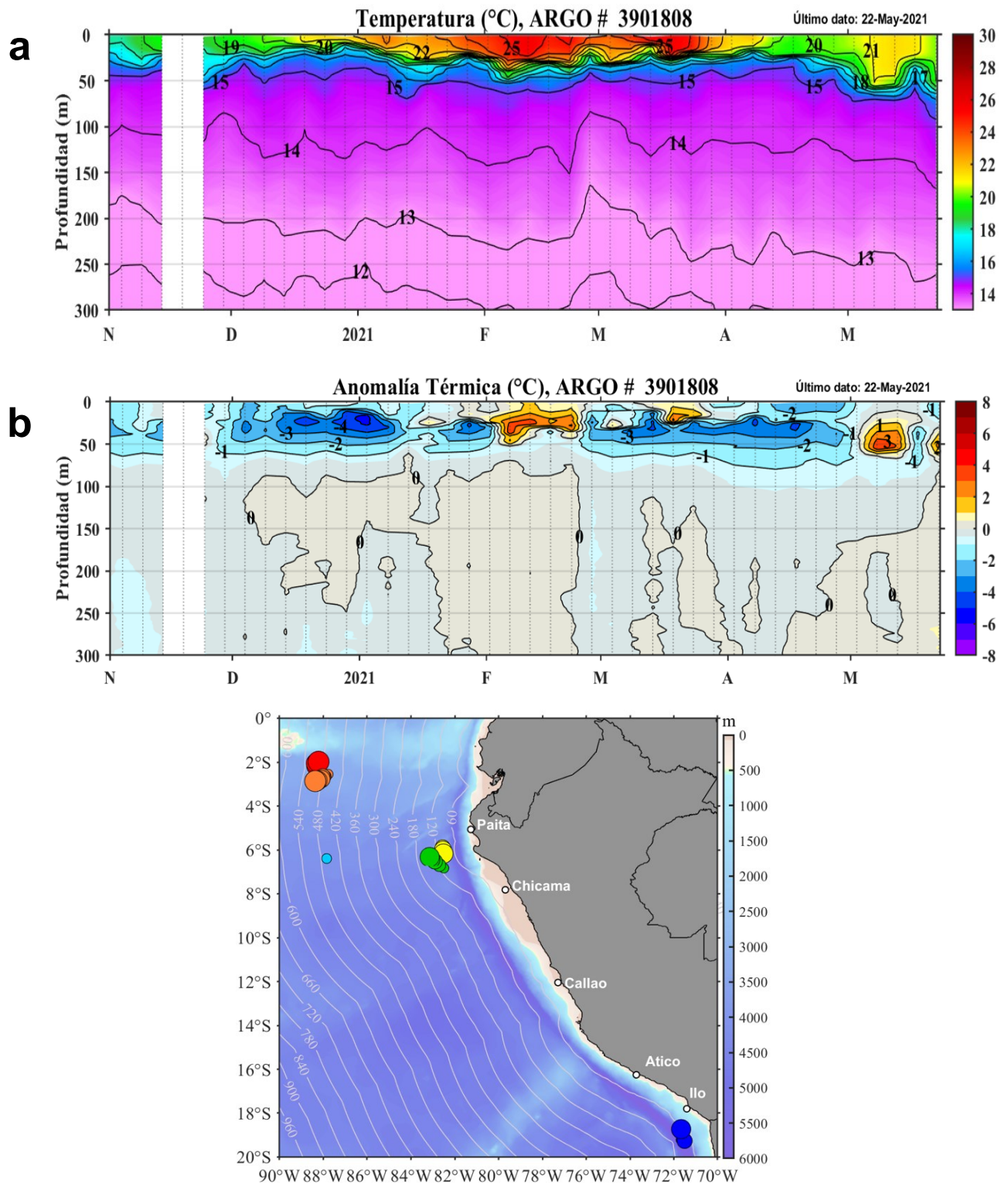


Figura 6. Diagrama Hovmöller de: a) Temperatura del mar (°C) y b) Anomalías térmicas (°C) del perfilador ARGO No. 3901808 localizado a 94 millas (6,2°S y 82,5°W) frente a Punta Falsa de noviembre de 2020 al 22 de mayo de 2021. Las anomalías de la temperatura del agua (°C) se calcularon de acuerdo a Domínguez et al (2017). Los puntos en la columna de agua indican los días en que el perfilador ARGO registró información. En la Figura (c) se muestra la ubicación de los perfiladores ARGO disponibles en el área de estudio. La ubicación del perfilador ARGO No. 3901808 se presenta con el círculo de color amarillo. Datos: ARGO.

IV. ÍNDICES CLIMÁTICOS Y BIOLÓGICO-PESQUERO

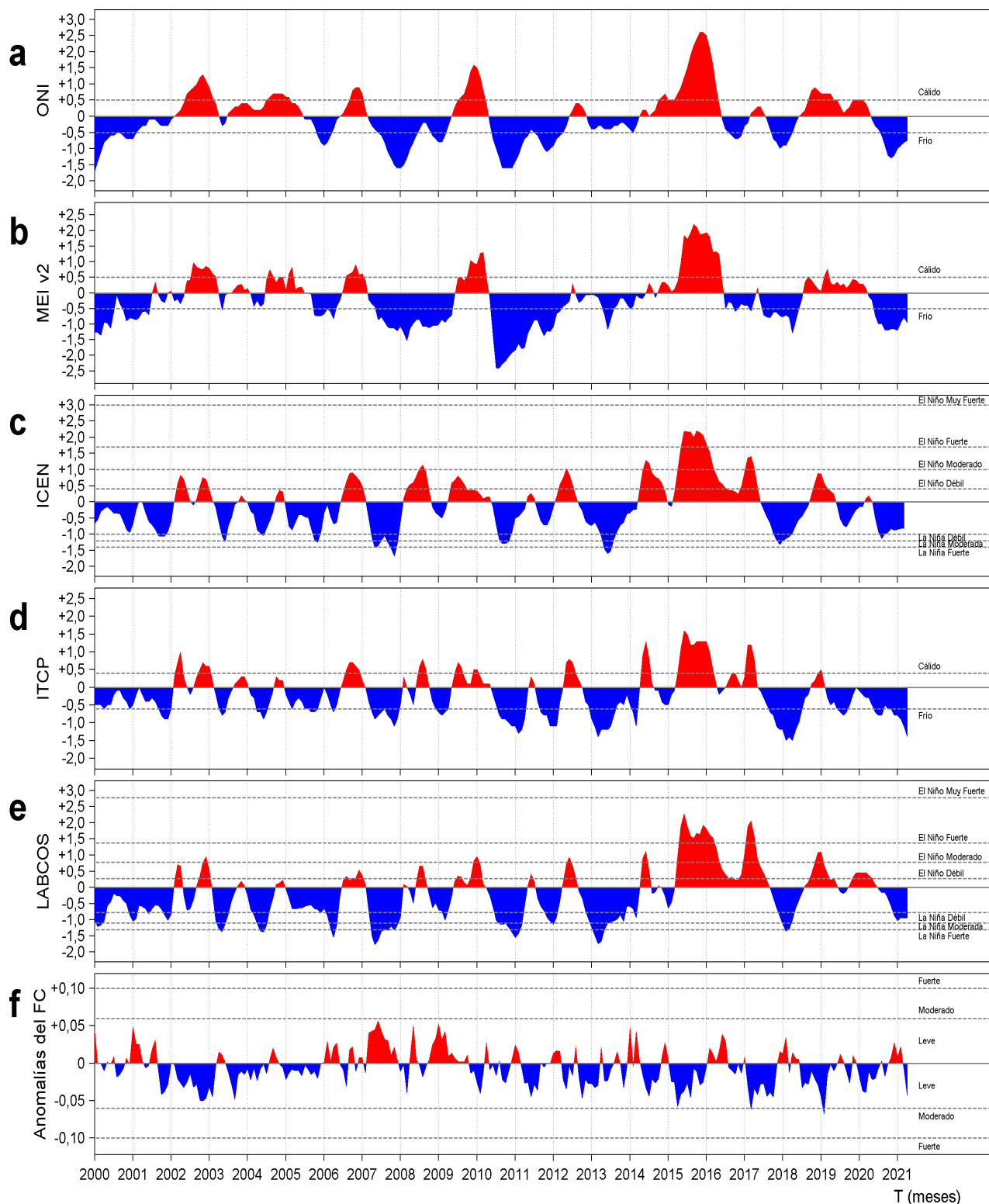


Figura 7. Series de tiempo de los índices climáticos y biológico-pesquero: a) Índice Niño Oceánico (ONI; Huang et al., 2017), b) Índice Multivariado de ENOS (MEI v2; Wolter y Timlin (1993, 1998 y 2011) y Kobayashi et al., 2015), c) Índice Costero El Niño (ICEN; Takahashi et al., 2014), d) Índice Térmico Costero Peruano (ITCP; Quispe et al., 2016), e) Índice LABCOS (Quispe y Vásquez, 2015) y f) Factor de condición de la anchoveta peruana (Fc; Perea et al., 2015), respectivamente desde el año 2000.

V. PERSPECTIVAS

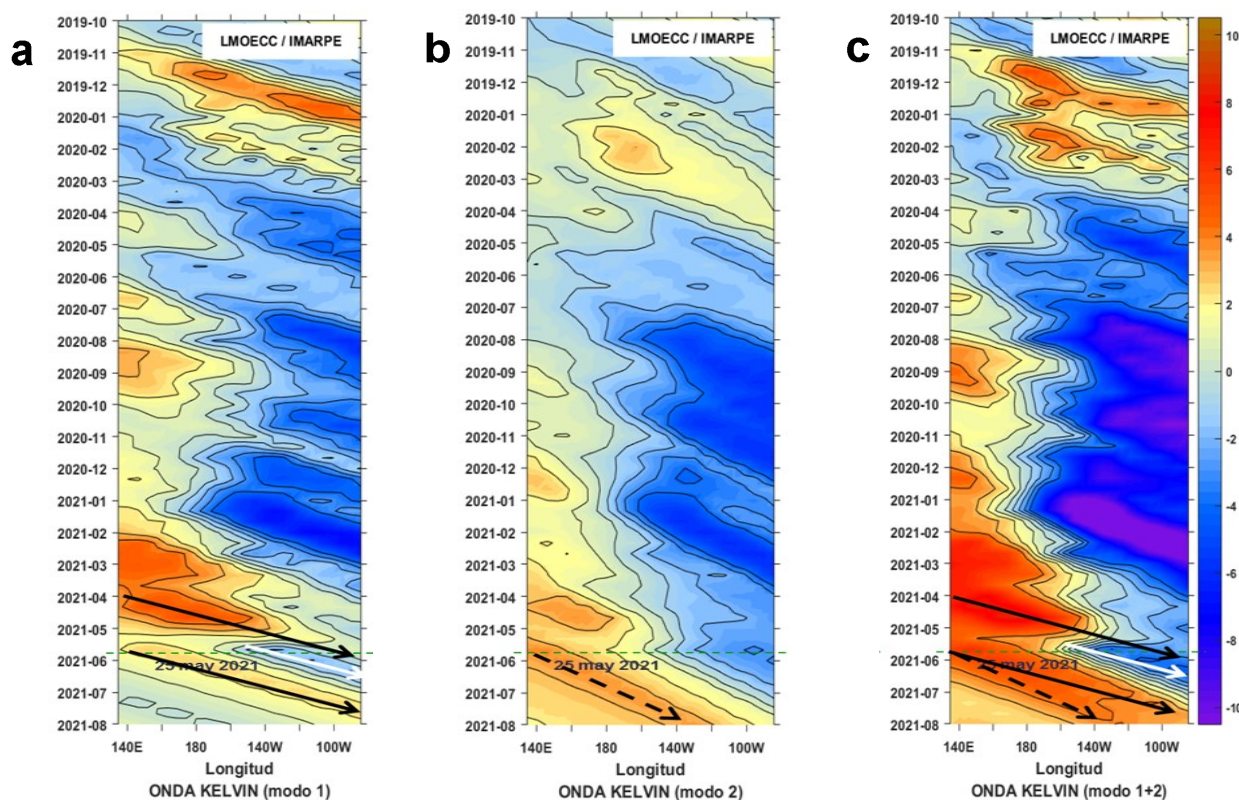


Figura 8. Diagramas Hovmöller longitudin-tiempo de las Ondas Kelvin Ecuatoriales en el Océano Pacífico Ecuatorial entre 130°E y 95°W forzado con anomalías del esfuerzo del viento (N/m²) del NCEP (Kalnay et al. 1996) de acuerdo con la metodología de Illig et al. (2004) y Dewitte et al. (2002): a) Modo 1, b) Modo 2 y c) Modos 1+2. La línea discontinua horizontal de color verde indica el inicio del pronóstico con anomalías del esfuerzo del viento igual a cero. Los valores negativos corresponden a ondas Kelvin de afloramiento “frías” (flechas blancas).

RECONOCIMIENTOS

The Group for High Resolution Sea Surface Temperature (GHRSSST) Multi-scale Ultra-high Resolution (MUR) Level 4 OSTIA Global Foundation Sea Surface Temperature Analysis (GDS version 2). Ver. 2.0 data were obtained from the NASA EOSDIS Physical Oceanography Distributed Active Archive Center (PO.DAAC) at the Jet Propulsion Laboratory, Pasadena, CA (<http://dx.doi.org/10.5067/GHGMR-4FJ01>).

IFREMER/CERSAT. 2005. ERS-1 Level 3 Gridded Mean Wind Fields (IFREMER). Ver.1.PO.DAAC, CA, USA (<ftp://anonymous@ftp.ifremer.fr/ifremer/cersat/products/gridded/mwf-ers1>).

The Ssalto/Duacs altimeter products were produced and distributed by the Copernicus Marine and Environment Monitoring Service (CMEMS) (<http://www.marine.copernicus.eu>).

The products from the MERCATOR OCEAN system distributed through the Marine Copernicus Service (<http://www.marine.copernicus.eu>).

Argo data (<http://doi.org/10.17882/42182>) were collected and made freely available by the International Argo Program and the national programs that contribute to it. (<http://www.argo.ucsd.edu>, <http://argo.jcommops.org>). The Argo Program is part of the Global Ocean Observing System.

The Pacific Islands Ocean Observing System (PacIOOS) is funded through the National Oceanic and Atmospheric Administration (NOAA) as a Regional Association within the U.S. Integrated Ocean Observing System (IOOS). PacIOOS is coordinated by the University of Hawaii School of Ocean and Earth Science and Technology (SOEST).

Este boletín es una acción del Programa Presupuesto Por Resultados - PPR 068 El Niño “Reducción de Vulnerabilidad y Atención de Emergencias por Desastres” y su producto “Entidades Informadas en forma permanente y con pronósticos frente al Fenómeno El Niño”.

REFERENCIAS

- Dewitte B., D. Gushchina, Y. du Penhoat and S. Lakeey, 2002: On the importance of subsurface variability for ENSO simulation and prediction with intermediate coupled models of the Tropical Pacific: A case study for the 1997-1998 El Niño. *Geoph. Res. Lett.*, vol. 29, no. 14, 1666, 10.1029/2001GL014452.
- Domínguez, N., C. Grados, L. Vásquez, D. Gutiérrez, A. Chaigneau. *Climatología termohalina frente a las costas del Perú. Periodo: 1981-2010. Volumen 44, Número 1, Enero-Marzo 2017. Inf Inst Mar Perú 44(1).*
- Donlon, C. J, M. Martin, J. Stark, J. Roberts-Jones, E. Fiedler, W. Wimmer, 2012. The Operational Sea Surface Temperature and Sea Ice Analysis (OSTIA) system. *Remote Sen. Env.*, 116, 140-158.
- Huang, B., Peter W. Thorne, et. al, 2017: Extended Reconstructed Sea Surface Temperature version 5 (ERSSTv5), Upgrades, validations, and intercomparisons. *J. Climate*, doi: 10.1175/JCLI-D-16-0836.1
- Illig, S., B. Dewitte, N. Ayoub, Y. du Penhoat, G. Reverdin, P. De Mey, F. Bonjean and G. S. E. Lagerloef, 2004: Interannual Long Equatorial Waves in the Tropical Atlantic from a High Resolution OGCM Experiment in 1981-2000, *Journal of Geophysical Research*, 109, C02022, doi:10.1029/2003jc001771.
- Kalnay, E., M. Kanamitsu, R. Kistler, W. Collins, D. Deaven, L. Gandin, M. Iredell, S. Saha, G. White, J. Woollen, Y. Zhu, A. Leetmaa, B. Reynolds, M. Chelliah, W. Ebisuzaki, W. Higgins, J. Janowiak, K. Mo, C. Ropelewski, J. Wang, R. Jenne, and D. Joseph, 1996: The NCEP/NCAR 40-Year Reanalysis Project. *Bull. Amer. Meteor. Soc.*, 77, 437-471.
- Kobayashi S, Ota Y, Harada Y, Ebata A, Moriya M, Onoda H, Onogi K, Kamahori H, Kobayashi C, Endo H, Miyaoka K, Takahashi K (2015) The JRA-55 reanalysis: general specifications and basic characteristics. *J Meteor Soc Jpn* 93:5-48.
- Lellouche, J.-M., Le Galloudec, O., Drévilion, M., Régnier, C., Greiner, E., Garric, G., Ferry, N., Desportes, C., Testut, C.-E., Bricaud, C., Bourdallé-Badie, R., Tranchant, B., Benkiran, M., Drillet, Y., Daudin, A., and De Nicola, C.: Evaluation of global monitoring and forecasting systems at Mercator Océan, *Ocean Sci.*, 9, 57-81, 2013.
- Perea, A., B. Buitrón, J. Mori, J. Sánchez, C. Roque, 2015. Anomalías de los Índices reproductivos de anchoveta *Engraulis ringens* en relación al ambiente. En: *Boletín Trimestral Oceanográfico*, Volumen 1, Números 1-4, pp.: 27-28.
- Quispe Ccallauri, C, J. Tam, H. Demarcq, C. Romero, D. Espinoza, A. Chamorro, J. Ramos, R. Oliveros, 2016. El Índice Térmico Costero Peruano. En: *Boletín Trimestral Oceanográfico*, Volumen 2, Número 1, pp: 7-11.
- Quispe, J. y L. Vásquez, 2015. Índice "LABCOS" para la caracterización de evento El Niño y La Niña frente a la costa del Perú, 1976-2015. En: *Boletín Trimestral Oceanográfico*, Volumen 1, Números 1-4, pp.: 14-18.
- Takahashi, K, K. Mosquera y J. Reupo, 2014. El Índice Costero El Niño (ICEN): historia y actualización. *Boletín Técnico - Vol. 1 Nro. 2, Febrero del 2014.*
- Wolter K. and M. S. Timlin, 1993. Monitoring ENSO in COADS with a seasonally adjusted principal component index. *Proceedings of the 17th Climate Diagnostics Workshop*, Norman, Oklahoma. NOAA/NMC/CAC-NSSL-Oklahoma Climate Survey-CIMMS-School of Meteorology of the University of Oklahoma, pp. 52-57.
- Wolter K. and M. S. Timlin, 1998. Measuring the strength of ENSO events - how does 1997/98 rank? *Weather* **53**, 315-324.
- Wolter K. and M. S. Timlin, 2011. El Niño/Southern Oscillation behavior since 1871 as diagnosed in an extended multivariate ENSO index (MEI. ext). *Int. J. Climatol.* **31**, 1074-1087.

El Boletín Semanal Oceanográfico y Biológico-Pesquero (BS OBP) presenta la evolución de variables físicas en la superficie del océano y atmósfera, así como de la estructura físico-química del océano frente a Paíta -lugar referente del mar peruano para la vigilancia climática asociada a El Niño-Oscilación del Sur- con el fin de comprender los efectos de la variabilidad de corto plazo en las condiciones oceanográficas del mar peruano. Esta información se sustenta en las redes observacionales que administra el IMARPE y que se han fortalecido en el marco del Programa Presupuesto Por Resultados - PPR 068 El Niño "Reducción de Vulnerabilidad y Atención de Emergencias por Desastres" y su producto "Entidades Informadas en forma permanente y con pronósticos frente al Fenómeno El Niño". Índices climáticos e información satelital complementan las observaciones in situ.

El BS OBP es elaborado por investigadores de las Áreas Funcionales de Oceanografía Física y Cambio Climático (AFIOFCC) y de Oceanografía Química y Geológica (AFIOQG) de la Dirección General de Investigaciones en Oceanografía y Cambio Climático (DGIOCC) así como la Dirección General de Investigaciones de Recursos Pelágicos (DGIRP) del Instituto del Mar del Perú (IMARPE). Se espera informar de forma oportuna y permanente sobre el estado del océano a diferentes grupos de interés y sociedad en general, contribuyendo a mejorar el conocimiento del mar peruano y coadyuvar a la gestión del riesgo de desastres del Estado Peruano.

Se informa que el monitoreo oceanográfico rutinario frente a Paíta se ha suspendido debido a las disposiciones por la presencia del COVID-19; en su reemplazo, se presenta información de perfiladores ARGO disponibles frente a la costa norte del Perú.

Servicio de Información Oceanográfica del Fenómeno El Niño (SIO-FEN)
Laboratorio de Hidrofísica Marina/AFIOFCC/DGIOCC/IMARPE



El contenido del Boletín se puede reproducir citándolo así: Boletín Semanal Oceanográfico y Biológico-Pesquero [en línea]. Callao, Instituto del Mar del Perú. Año 6, N°21, 28 de mayo de 2021. [http://www.imarpe.pe/imarpe/index.php?id_seccion=101780204000000000000000](http://www.imarpe.pe/imarpe/index.php?id_seccion=1017802040000000000000).

© 2021 Instituto del Mar del Perú.
Esquina Gamarra y General Valle, Chucuito, Callao - Perú.

Consultas: Servicios y Productos Oceanográficos
Laboratorio de Hidrofísica Marina/AFIOFCC/DGIOCC/IMARPE.
Correo electrónico: lhfm_productos@imarpe.gob.pe;
lhfm_productos@gmail.com.
Teléfono: (51 1) 208 8650 (Extensión 824).

Suscripciones: Complete [este formulario](#).